

ЛЕГИРОВАНИЕ ZnSe С ПОМОЩЬЮ ВЫСОКОЭФФЕКТИВНОГО ИСТОЧНИКА АКТИВНОГО АЗОТА В ПРОЦЕССЕ МОЛЕКУЛЯРНО-ПУЧКОВОЙ ЭПИТАКСИИ

© В.Н.Жмерик, С.В.Иванов, М.В.Максимов, В.М.Кузнецов,
Н.Н.Леденцов, С.В.Сорокин, С.Н.Домрачев,
Н.М.Шмидт, И.Л.Крестников, П.С.Кольев

Физико-технический институт им. А.Ф.Иоффе Российской академии наук,
194021 Санкт-Петербург, Россия
(Получена 26 сентября 1995 г. Принята к печати 3 октября 1995 г.)

Сообщается об использовании оригинального источника активного азота с разрядом на постоянном токе для р-легирования ZnSe при молекулярно-пучковой эпитаксии. Впервые с помощью источника данного типа достигнут уровень легирования $|N_A - N_D| = 8 \cdot 10^{17} \text{ см}^{-3}$ при эффективности легирования 80%. Используемые при этом сверхнизкие уровни постоянной мощности (0.5 Вт) и расхода газа ($10^{-3} \text{ л} \cdot \text{Тор}/\text{с}$) свидетельствуют о чрезвычайно высокой эффективности источника. Определены оптимальные условия роста и легирования при молекулярно-пучковой эпитаксии. Продемонстрирована высокая эффективность спектроскопии низкотемпературной фотолюминесценции для исследования природы и условий образования примесных условий.

1. Введение

Одной из наиболее важных проблем, связанных с созданием полупроводниковых лазеров на основе ZnSe и его твердых растворов, работающих в сине-зеленом оптическом диапазоне при комнатной температуре, является достижение необходимого уровня р-легирования эмиттеров и контактных слоев. Успешное использование для этой цели потока активного азота из источника, входящего в состав установки молекулярно-пучковой эпитаксии (МПЭ), было впервые продемонстрировано в 1990–1991 гг. в работах R.M.Park [1] и K.Ohkawa [2].

В большинстве публикаций для активации азота используются плазменные источники двух типов: источники с индуктивным высокочастотным (13.56 МГц) возбуждением разряда (наиболее часто в работах используется модель MPD-21 фирмы изготовителя «Oxford Appl. Res.», Великобритания) и источники с электронным циклотронным резонансом (ЭЦР источники). Также сообщалось об использовании источника с емкостным ВЧ возбуждением разряда [3].

С использованием этих источников удается получить контролируемый уровень легирования в ZnSe *p*-типа с максимальной концентрацией электрически активной примеси $|N_A - N_D| = 1 \cdot 10^{18} \text{ см}^{-3}$ (N_A — концентрация акцепторов, N_D — концентрация доноров). Эффективность легирования при этом, определяемая как отношение концентраций электрически активной примеси и встроенного азота [N], близка к 100% до $|N_A - N_D| = 5 \cdot 10^{17} \text{ см}^{-3}$ и спадает до 20% при $|N_A - N_D| = 1 \cdot 10^{18} \text{ см}^{-3}$ в случае MPD-21 источника [4], и составляет в среднем $\sim 60\%$ для ЭЦР источника [5].

Однако для возбуждения разряда во всех вышеперечисленных источниках необходимо обеспечить относительно высокое давление азота ($> 1 \text{ мТор}$) в разрядной камере, что требует использования апертуры ($< 0.2 \text{ мм}$) на выходе источника для получения приемлемого базового давления в ростовой камере установки МПЭ ($\leq 10^{-6} \text{ Тор}$). Характерные величины мощности, вводимой в разряд, составляют сотни Ватт в случае индуктивного ВЧ возбуждения и десятки Ватт для источников с емкостным ВЧ возбуждением и ЭЦР источников. Как правило, источник размещается в непосредственной близости от подложки, на расстоянии примерно 10 см.

В известной нам литературе только одна группа авторов S.O.Ferreira, W.Faschinger et al. [6,7] сообщала об использовании источника активного азота с разрядом на постоянном токе (Riber OPS-200), с помощью которого были получены удовлетворительные результаты по легированию ZnTe. Однако попытка легирования ZnSe с помощью этого источника оказалась безрезультатной, что авторы объяснили недостаточно высокой мощностью, вводимой в разряд. Характерная величина последней составляла 15 Вт.

Из теоретической работы [8] и из работ, где наблюдалась оптические эмиссионные спектры (ОЭС) ВЧ и ЭЦР разрядов [9,10], следует, что активными частицами, в той или иной степени ответственными за появление акцепторной проводимости, являются возбужденные молекулы азота в метастабильном состоянии и атомарный азот. Мнения различных авторов об относительной роли каждой из этих частиц разделяются. Общеизвестно, что невозбужденные молекулы и ионы участия в процессе легирования не принимают и, более того, их присутствие, особенно последних, ухудшает эффективность легирования.

Верхний предел концентрации $|N_A - N_D|$, примерно одинаковый для различного типа источников, может быть объяснен как появлением в процессе легирования компенсирующих глубоких донорных комплексов, связанных с азотом: $\text{N}_{\text{Se}}-\text{Zn}-\text{V}_{\text{Se}}$ [11], так и предельной растворимостью азота в ZnSe [12,13]. Однако даже при небольших отклонениях от стехиометрии преобладающим является первый механизм. Из этого следует, что для повышения качества приборов, изготовленных на основе ZnSe, необходимо исследовать характеристики и условия образования таких комплексов.

Наиболее полную информацию о качестве легированного азотом ZnSe *p*-типа можно получить из совместного анализа результатов измерений концентрации электрически активной примеси емкостным методом (*C-V*-измерения), концентрации встроенного азота методом вторичной ионной масс-спектроскопии (ВИМС) и спектров низкотемпера-

турной фотолюминесценции (ФЛ) легированных образцов, в коротковолновой части которых обычно наблюдают следующие линии, близкие к краю фундаментального поглощения: излучение свободного экситона (E_x , 2.800–2.803 эВ), излучение экситона, связанного на нейтральном акцепторе (I_1 , 2.789–2.791 эВ), с LO-фононным повторением на ~ 2.760 эВ и излучение экситона, связанного на глубоком доноре (I_2^d , 2.783–2.785 эВ) [11,14]. Длинноволновая часть спектра определяется рекомбинацией через донорно-акцепторные пары с участием мелкого донора и N-акцептора (D^sAP , 2.685–2.702 эВ) [11,14]. При определенных технологических условиях и уровнях легирования, обсуждаемых далее, в спектре проявляется еще одна линия, обусловленная рекомбинацией через глубокий азотный донорный комплекс и N-акцептор (D^dAP , 2.683–2.685 эВ) [11,14]. Обе донорно-акцепторные линии обычно сопровождаются LO-фононными повторениями, отстоящими друг от друга на 31 мэВ.

Особенностью настоящей работы является использование в ней для получения активного азота разряда низкого давления на постоянном токе в скрещенных электрическом и магнитном полях, известного как «разряд с анодным слоем» [15,16]. Разряд был реализован в приборе с геометрией обращенного магнетрона (производство «ИМПЛАС», Россия).

Нами показана возможность получения с помощью такого источника слоев ZnSe:N с $|N_A - N_D| = 10^{15} \div 8 \cdot 10^{17} \text{ см}^{-3}$ при эффективности легирования 80%. Определены оптимальные параметры МПЭ роста и подробно исследованы люминесцентные свойства получаемых слоев.

2. Экспериментальная часть

Эпитаксиальные слои ZnSe были выращены на установке молекулярно-пучковой эпитаксии (ЭП-1203) на подложках GaAs с ориентацией (100) и разориентированных на 2° в направлении (110) без использования буферного слоя GaAs. Поверхность подложки была подготовлена по методике, описанной в [17]. Предварительно выращивался буферный слой нелегированного ZnSe толщиной 150–300 Å. Слои были выращены при температурах подложки $T_S = 250 \div 320^\circ\text{C}$ и скорости роста $v = 90 \text{ \AA/min}$, соответствующей эквивалентному давлению потока (ЭДП) цинка у поверхности подложки — $P_{\text{Zn}} = 6 \cdot 10^{-7} \text{ Torr}$ (измеряющему ионизационным датчиком Байярда–Альперта).

Слои были выращены при отношении потоков $J_{\text{Se}}/J_{\text{Zn}} = 0.5 \div 2.9$, причем единичному соотношению потоков ($J_{\text{Se}}/J_{\text{Zn}} = 1$) при каждой T_S соответствовало отношение ЭДП Se/Zn, при котором наблюдали переход картины дифракции быстрых электронов от (2 × 1)Se-стабилизированного к c(2 × 2)Zn-стабилизированному режиму роста [18]. В качестве источников использовались элементарные Zn($6N$), Se($6N$) и газообразный азот ($6N$).

Для p-легирования эпитаксиальных слоев ZnSe был использован источник активного азота с геометрией обращенного магнетрона, схема которого приведена на рис. 1, в котором была реализована коаксиальная конфигурация электродов (центральный электрод–анод). Про-

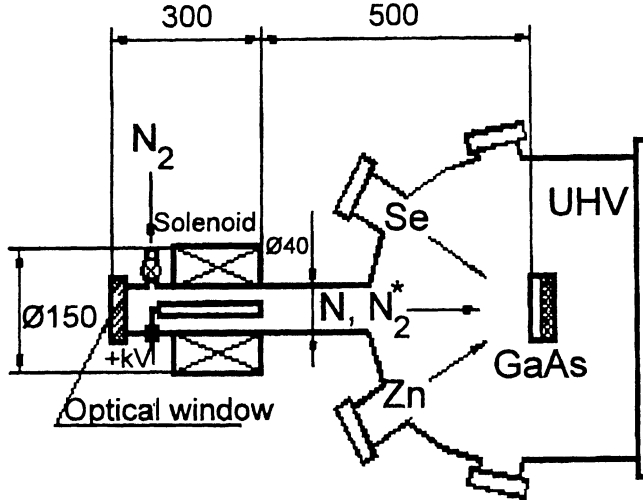


Рис. 1. Схема установки МПЭ с источником возбужденного азота.

дольное магнитное поле 0.05–0.1 Тл обеспечивало устойчивое поддержание разряда на уровне сотен микроампер при напряжении 1–3 кВ и давлении в ростовой камере на уровне $10^{-6} \div 10^{-5}$ Тор. Скорость откачки магниторазрядного насоса составляла 500 л/с. По нашим оценкам, расход азота не превышал 10^{-3} л · Тор/с, а давление в разрядной камере составляло $10^{-5} \div 10^{-4}$ Тор, что позволило исключить выходную диафрагму в конструкции источника и турбомолеулярную откачуку ростовой камеры. Компактные размеры и большое расстояние между разрядной камерой источника и подложкой позволили легко вписать источник в состава установки МПЭ. Отметим также простоту изготовления источника и легкость управления им.

Первая серия экспериментов, в которой исследовалось влияние параметров роста на характеристики легированных слоев, проводилась с модифицированным вариантом источника, разработанным первоначально для реактивного ионно-лучевого травления, который описан в [19]. Заключительные эксперименты были проведены с более компактным источником. Разрядные процессы в обоих источниках качественно были идентичны.

Измерения оптических спектров излучения азотного разряда в диапазоне 380–760 нм проводились при помощи малогабаритного спектрометра ПМР-11В (производство ЛОМО) на ПЗС линейке со спектральным разрешением 2 нм.

Концентрации электрически активных акцепторов $|N_A - N_D|$ оценивалась из $C-V$ -измерений на барьерах Шоттки, для создания которых использовался ртутный электрод с диаметром 600 мкм. Измерения проводились на частотах 10 кГц и 1 МГц. Следует отметить, что обычно в работах по легированию ZnSe приводятся результаты $C-V$ -измерений на рабочей частоте 10 кГц, что приводит к оценке концентрации $|N_A - N_D|$, приблизительно в 2 раза большей, чем в случае использования частоты 1 МГц [20]. Поэтому, для удобства сравнения, измеряемые в настоящей работе значения $|N_A - N_D|$ при рабочей частоте 1 МГц удваивались.

Концентрация встроенного азота [N] измерялась с помощью ВИМС с детектированием вторичных ионов ^{94}SeN . Предел обнаружения [N] составлял $1.5 \cdot 10^{17} \text{ см}^{-3}$.

Спектры ФЛ снимались в криостате в потоке газообразного гелия в температурном диапазоне 5–300 К. В качестве источников возбуждения использовались непрерывный Не–Cd-лазер с длиной волны излучения 325 нм. В качестве регистрирующей системы использовался монохроматор МДР-23 и охлаждаемый фотоумножитель, работающий в режиме счета фотонов.

3. Результаты и их обсуждение

Оптический эмиссионный спектр в диапазоне 380–760 нм азотного разряда при типичных условиях возбуждения приведен на рис. 2. Измерения показали наличие в разрядном промежутке молекулярных ионов (переходы первой отрицательной системы $B^2\Sigma_u^+ \rightarrow X^2\Sigma_g^+$: 391, 428, 471 нм), метастабильного возбужденного состояния молекулы азота (первая положительная серия $B^3\Pi_g \rightarrow A^3\Sigma_u^+$: 590–750 нм) и атомарного азота (переход $3s^4P \rightarrow 3p^4S^0$: 746 нм). Отметим, что наряду с этими линиями в спектре наблюдались узкие линии с длинной волны излучения 501, 568 нм, которые не наблюдались в ОЭС других источников. Пользуясь данными [21], можно предположить, что частицами, ответственными за их излучение, являются атомарные ионы азота.

Относительно высокая интенсивность излучения молекулярных ионов и присутствие атомарных ионов азота позволяют сделать качественный вывод о большем «разогреве» электронов в разряде по сравнению с ВЧ и ЭЦР источниками. Излучение молекулярных ионов заметно только в ЭЦР-источниках [9, 10] и никогда не бывает преобладающим, как наблюдалось нами.

Однако необходимо учитывать, что магнитное поле в несколько сотен Гаусс, имеющееся в источнике, обеспечивает эффективную сепарацию ионизированной компоненты, а именно — вынос ионов на стенки разрядной камеры, где они нейтрализуются. В противном случае присутствие ионов в потоке, достигающем подложки, неизбежно бы повлекло снижение характеристик легирования, как было показано в [5].

При использовавшихся нами значениях напряженности магнитного поля и давления в разрядной камере для электронов выполняется условие замагниченности, что приводит к их замкнутому дрейфу по циклоидальным траекториям и образованию объемного отрицательного заряда в межэлектродном промежутке (анодного слоя). Наряду с ионизирующими столкновениями электроны будут испытывать другие типы неупругого взаимодействия с молекулами азота, приводящие к появлению возбужденных молекулярных состояний и атомов азота, что подтверждается данными ОЭС. Кроме того, возможны процессы генерации активных частиц азота в результате гетерогенных процессов на электродах. Эти частицы, учитывая отсутствие выходной апертуры и низкие рабочие давления, могут достигать подложки и, встраиваясь в растущий слой, обеспечивать акцепторный тип проводимости.

В процессе работы были определены параметры разряда, обеспечивающие оптимальную концентрацию и «температуру» электронов для возбуждения и диссоциации молекулярного азота с целью получения

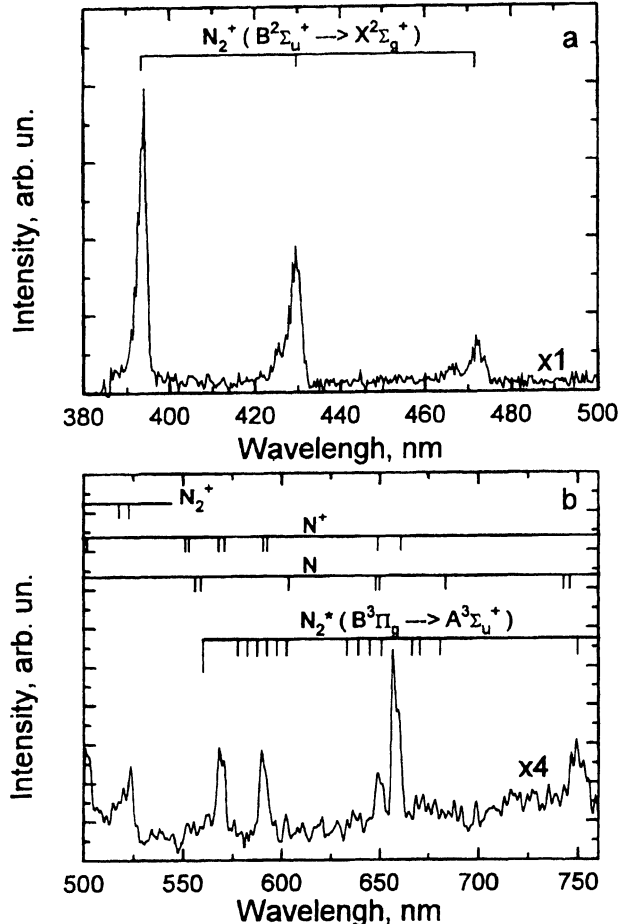


Рис. 2. Оптический эмиссионный спектр разряда в источнике возбужденного азота при типичных условиях возбуждения. В верхней части спектров приведены наиболее сильные линии излучения молекулярного и атомарного азота по данным [21].

максимальной $|N_A - N_D|$ при высокой эффективности легирования. Более подробное рассмотрение разрядных процессов выходит за рамки настоящей статьи.

Как уже отмечалось в п. 2, для первой серии экспериментов был использован модифицированный источник с расходящимся магнитным полем. Это обусловило значительные потери электронов из анодного слоя и, как следствие, потребовало для поддержания разряда относительно высокого расхода азота с давлением в ростовой камере $10^{-6} \div 10^{-5}$ Тор. В течение этой серии было определено, что разряд с межэлектродным напряжением 1.5 кВ и разрядным током от 40 до 200 мА, регулируемым расходом азота, обеспечивает получение контролируемого уровня легирования в пределах $10^{15} \div 4 \cdot 10^{17}$ см⁻³. Основное внимание в этих экспериментах было уделено исследованию влияния параметров роста (T_S , J_{Se}/J_{Zn}) на характеристики эпитаксиальных слоев ZnSe:N. Полученные результаты были использованы при работе

Номер образца	t ZnSe:N, мкм	J_{Se}/J_{Zn}	$T_S, ^\circ C$	Параметры источника		$C-V,$ $N_A - N_D,$ см^{-3}	ВИМС, $N_N,$ см^{-3}
				активного азота	$P_N, 10^{-6} \text{ Тор}$	$I_{dc}, \text{ мкА}$	
<i>A</i>	1.3	0.9	300	1.4	40	$3 \cdot 10^{15}$	$\leq 1.5 \cdot 10^{17}$
<i>B</i>	1.1	0.6	280	3.7	170	$3 \cdot 10^{16}$	—
<i>B*</i> [†]	—“—	—“—	—“—	—“—	—“—	$8 \cdot 10^{16}$	—
<i>C</i>	1.55	1.4	265	4.9	170	$7 \cdot 10^{16}$	$8 \cdot 10^{17}$
<i>D</i>	1.50	2.9	240	4.9	200	$2 \cdot 10^{17}$	$5.5 \cdot 10^{17}$
<i>E</i>	1.15	1.25	275	4.9	200	$2 \cdot 10^{17}$	—
<i>F</i>	1.2	0.75	305	4.9	200	$2.5 \cdot 10^{17}$	$(3.5-4) \cdot 10^{17}$
<i>G</i> ^{††}	1.2	~ 1.0	255	1.4	200	$8 \cdot 10^{17}$	$1 \cdot 10^{18}$

Примечание. [†] Подложка разориентирована на 2° в направлении (100).

^{††} Компактный источник с однородным магнитным полем.

с компактным источником с однородным магнитным полем, обеспечивающим лучшее удержание электронов в слое. С его помощью было получено максимальное значение $|N_A - N_D| = 8 \cdot 10^{17} \text{ см}^{-3}$ при существенно меньшем расходе азота (см. таблицу).

На рис. 3 приведены результаты экспериментов по исследованию зависимости концентрации $|N_A - N_D|$ от соотношения J_{Se}/J_{Zn} . Экспериментальные точки с одинаковыми температурами подложки и амплитудами разрядного тока для наглядности соединены линиями. Анализ этих данных показывает, что оптимальными для легирования ZnSe:N следует считать условия роста, когда отношение потоков элементов второй и шестой групп близко к единице ($J_{Se}/J_{Zn} \sim 1$) при как можно более низкой температуре подложки ($T_S = 250^\circ C$). Использование более низких T_S приводит к ухудшению морфологии поверхности растущей пленки и, как следствие, к снижению эффективности легирования. Однако определяющее влияние на уровень легирования оказывает величина разрядного тока, задаваемая расходом азота. Следует также отметить, что незначительная разориентировка подложки от ориентации (100) приводит к увеличению $|N_A - N_D|$.

Эти выводы были подтверждены детальными исследованиями люминесцентных свойств выращенных слоев. На рис. 4 представлена температурная зависимость спектров ФЛ для образца *A* (см. таблицу) с низкой концентрацией атомов азота [N] и, соответственно, с низкой концентрацией заряженных центров $|N_A - N_D| = 3 \cdot 10^{15} \text{ см}^{-3}$ ($I_{dc} = 40 \text{ мкА}$). Наиболее интенсивной в спектре при 5 К является линия I_1 , линия I_2^d практически отсутствует. На длинноволновой части спектра присутствует линия D^sAP и также линия, обусловленная рекомбинацией свободного электрона с дыркой на акцепторе (FA), проявляющаяся при столь низких температурах вследствие малого уровня легирования. Обе линии сопровождаются LO -фоновыми повторениями. При температурах 40–60 К линия FA становится доминирующей в спектре, что подтверждает правильность интерпретации ее природы. При дальнейшем увеличении температуры в спектре начинает доминировать линия

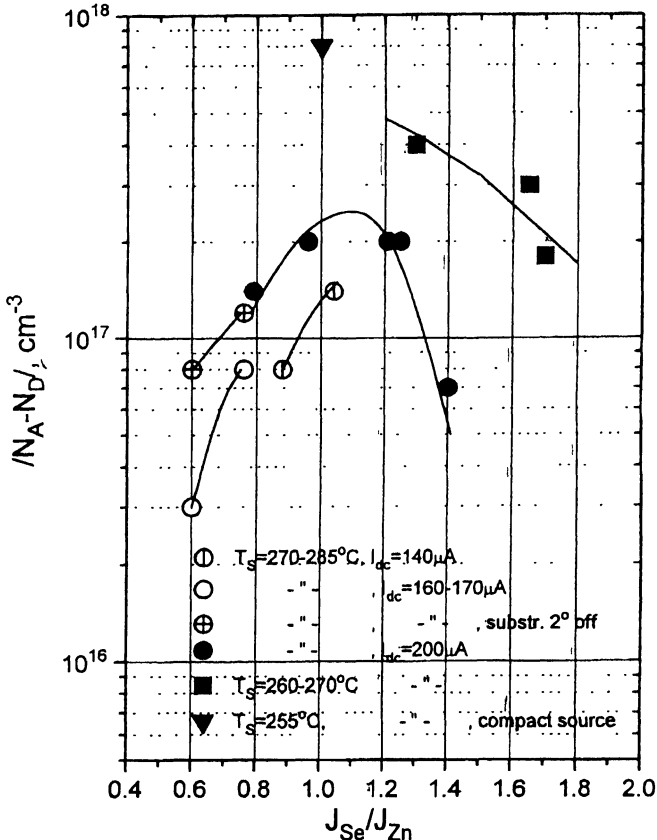


Рис. 3. Зависимость $|N_A - N_D|$ от эффективного соотношения потоков $J_{\text{Se}}/J_{\text{Zn}}$. Каждой кривой соответствуют одинаковые температура подложки и амплитуда разрядного тока.

FA^d (2.600 эВ), связанная, по-видимому, с рекомбинацией свободного электрона и дырки, связанной на глубоком акцепторе. Температурные зависимости интегральной интенсивности ФЛ для линий FA и FA^d позволили найти энергии активации акцепторов (110 и 217 мэВ соответственно) (см. рис. 4, б).

Спектры ФЛ двух образцов ZnSe:N с умеренным уровнем легирования $|N_A - N_D| = 7-8 \cdot 10^{16} \text{ см}^{-3}$, выращенных при различных отношениях потоков атомов Se и атомов Zn, представлены на рис. 5. Для образца *B* оно было меньше единицы, а для образца *C* — больше. На спектрах обоих образцов появляется линия экситона, связанного на глубоком доноре I_2^d , отсутствовавшая на спектрах образца *A* (рис. 4, кривая, соответствующая 5 К). Интенсивность этой линии в 2–2.5 раза меньше, чем интенсивности линии I_1 . Кроме того, в спектре образца *B* присутствует сравнительно слабая линия D^dAP , которая проявляется в виде плеча между линией D^sAP и ее первым LO -фононным повторением. Отсутствие линии D^dAP в спектре образца *C*, выращенного при $J_{\text{Se}}/J_{\text{Zn}} = 1.4$, согласуется с предположением, высказанным в [11], что донорные компенсирующие комплексы включают в себя ваканции

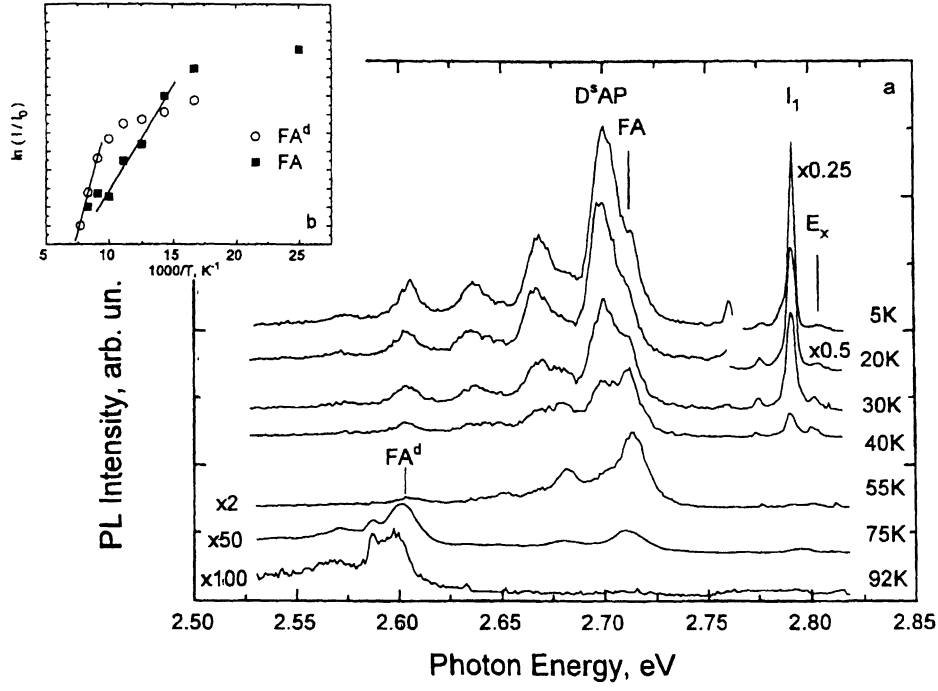


Рис. 4. Температурная зависимость спектров ФЛ образца *A* с низкой степенью легирования $|N_A - N_D| = 3 \cdot 10^{15} \text{ см}^{-3}$ (а) и зависимость логарифма интегральной интенсивности линий *FA* и *FA^d* от обратной температуры (б).

Se (V_{Se}). На рис. 5 также приведен спектр ФЛ слоя *B**, выращенного в одном процессе со слоем *B*, но на подложке, разориентированной на 2° в направлении (110). Из их сравнении видно, что при росте на разориентированной подложке образование глубоких донорных комплексов в значительной степени подавлено, что хорошо согласуется с результатами [22] и с нашими выводами на основе *C-V*-измерений (см. рис. 3). Данная закономерность обусловлена тем, что в случае роста на разориентированной подложке на поверхности присутствует большая дополнительная концентрация атомов Zn с одиночной оборванной связью, способствующая внедрению атомов N в узел подрешетки Se, т.е. образованию акцепторной примеси, что приводит к значительному уменьшению интенсивности линии D^aAP . Температурные зависимости спектров ФЛ образцов *B* и *C* весьма сходны: в обоих случаях с ростом температуры выше 50 K в спектрах начинает доминировать линия *FA*. Более быстрое уменьшение интенсивности линии I_2^d по сравнению с линией I_1 подтверждает, что линия I_2^d соответствует рекомбинации экситона, связанного на доноре (а не акцепторе) (рис. 5, б).

На рис. 6 приведены спектры ФЛ трех образцов с очень близкими концентрациями заряженных центров $|N_A - N_D| = 2 \div 2.5 \cdot 10^{17} \text{ см}^{-3}$, которые были выращены при существенно разных параметрах роста (T_S и соотношения $J_{\text{Se}}/J_{\text{Zn}}$, см. таблицу). Как видно из рисунка, увеличение температуры подложки от 240 до 305 °C и уменьшение эффективного отношения потоков $J_{\text{Se}}/J_{\text{Zn}}$ от 2.9 до 0.6 привело при постоянных па-

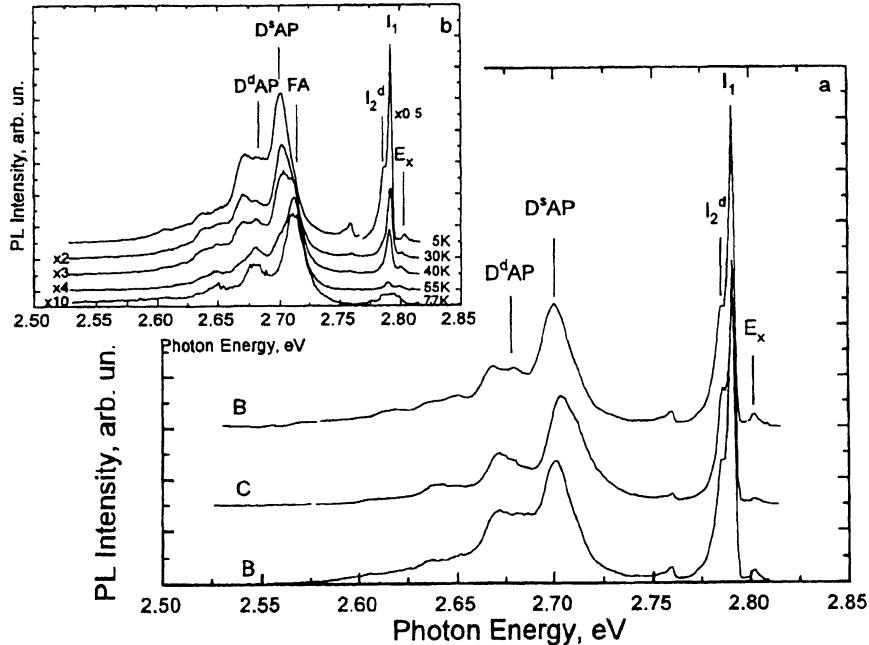


Рис. 5. Спектры ФЛ при 5 К образцов *B* ($|N_A - N_D| = 3 \cdot 10^{16} \text{ см}^{-3}$) и *C* ($|N_A - N_D| = 7 \cdot 10^{16} \text{ см}^{-3}$), а также образца *B**, выращенного в одном технологическом процессе с *B*, но на разориентированной подложке ($|N_A - N_D| = 8 \cdot 10^{16} \text{ см}^{-3}$) (а) и температурная зависимость спектров ФЛ образца *B* (б).

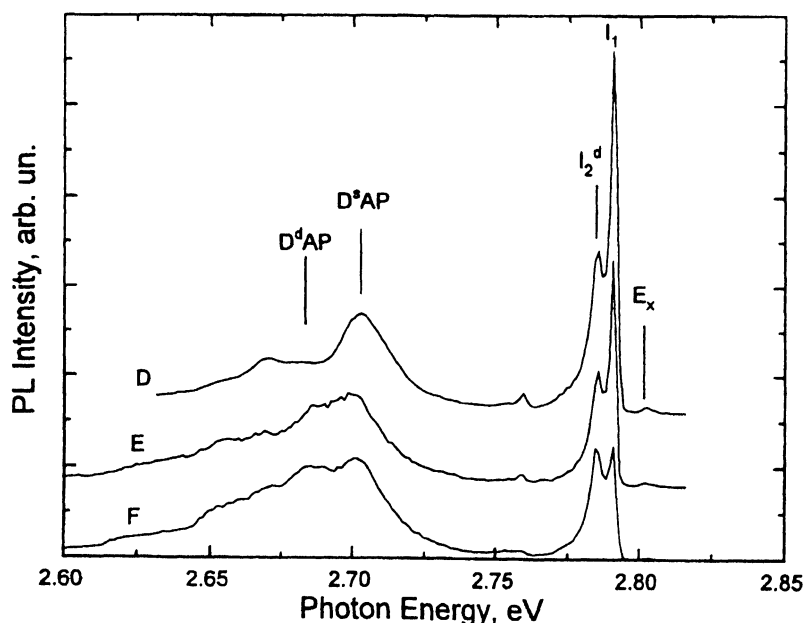


Рис. 6. Спектры ФЛ при 5 К образцов *D*, *E* и *F* со средней степенью легирования ($|N_A - N_D| = 2 \div 2.5 \cdot 10^{17} \text{ см}^{-3}$), выращенных в существенно разных технологических условиях (см. таблицу).

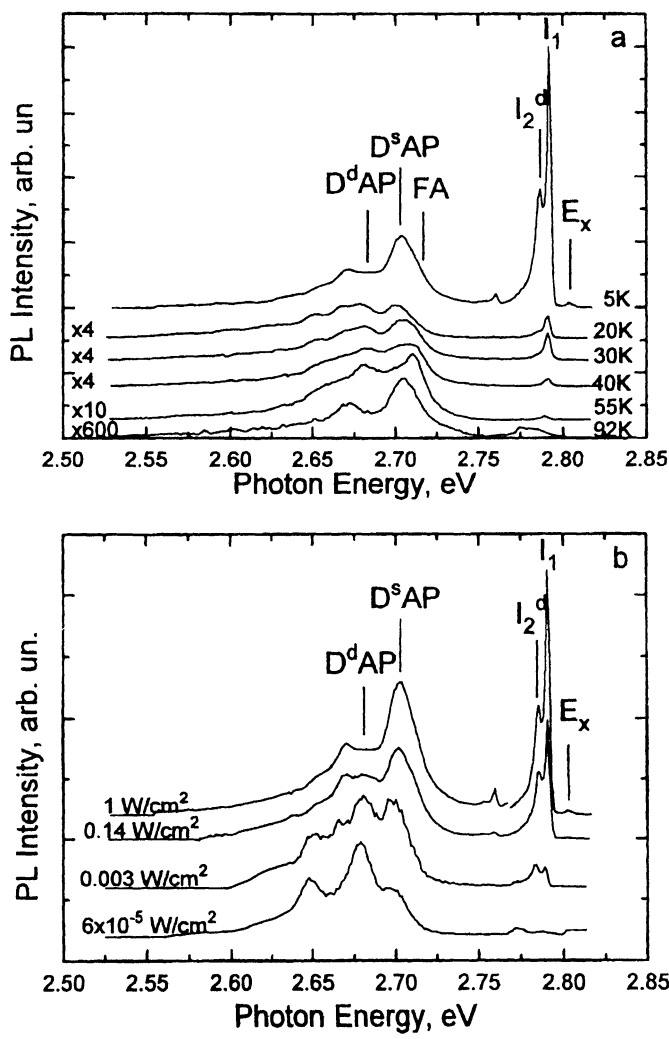


Рис. 7. Зависимости спектров ФЛ образца D ($|N_A - N_D| = 2 \cdot 10^{17} \text{ см}^{-3}$) от температуры (а) и плотности накачки (б).

метрах источника азотной плазмы к 1) уменьшению отношение интенсивностей I_1/D^dAP до ~ 1 ; 2) увеличению отношения интенсивностей D^dAP/D^sAP до ~ 1 ; 3) росту отношения интенсивностей I_2^d/I_1 в соответствии с ростом D^dAP/D^sAP до ~ 1 .

Эти изменения в спектре можно объяснить резким увеличением концентрации компенсирующих глубоких доноров, которые ответственны за линии D^dAP и I_2^d . Поскольку образование донорного комплекса связано с вакансией атома Se^[11], как высокая температура подложки, так и низкое отношение потоков J_{Se}/J_{Zn} должны приводить к увеличению их концентрации. Так как в случае слабо компенсированных слоев (образец D) достижение максимальных величин $|N_A - N_D|$ ограничивается недостаточно эффективным встраиванием атомов азота в ани-

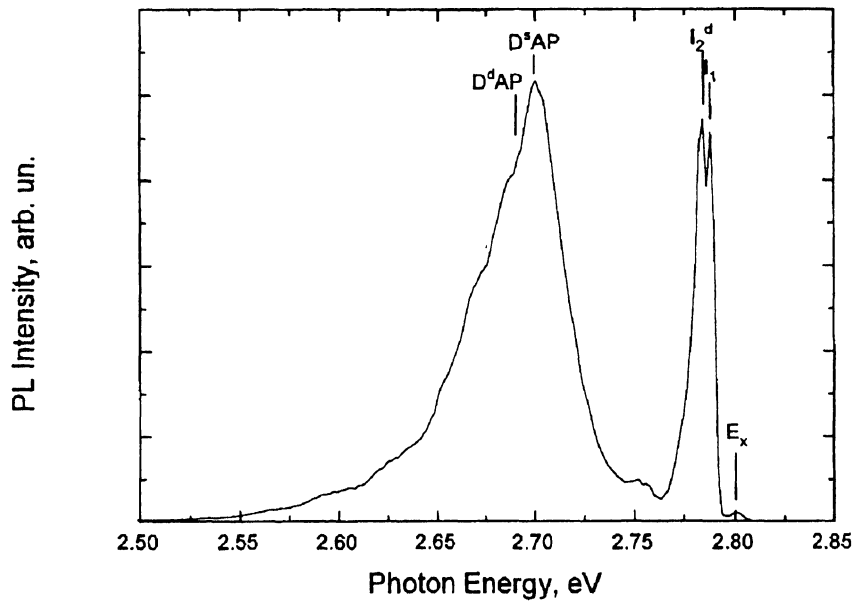


Рис. 8. Спектр ФЛ при 5 К образца G с высокими степеньюю ($|N_A - N_D| = 8 \cdot 10^{17} \text{ см}^{-3}$) и эффективностью (80%) легирования. В длинноволновой части спектра доминирующей является линия D^sAP , что подтверждает высокую степень легирования.

онную подрешетку вследствие Se-обогащенной поверхности роста, а в случае сильно компенсированных слоев (образец F , рис. 6) — ростом концентрации компенсирующих доноров, оптимальными параметрами роста являются, как уже было отмечено, близкое к единице отношение потоков J_{Se}/J_{Zn} и как можно более низкая температура подложки.

Температурная зависимость спектров ФЛ для образца D показана на рис. 7,а. При увеличении температуры от 5 до 50 К интенсивность линии D^dAP падает медленнее, чем линии D^sAP , что согласуется с присутствием двух типов доноров. При температурах выше 55 К в спектре начинает доминировать линия FA . Длинноволновый сдвиг линий D^sAP и D^dAP при уменьшении плотности накачки (рис. 7,б) служит еще одним доказательством, что обе линии обусловлены рекомбинацией через донорно-акцепторные пары. С уменьшением плотности накачки интенсивность линии D^sAP падает быстрее, чем D^dAP , вследствие чего последняя начинает преобладать в спектре. Эту сильную зависимость формы спектра от плотности накачки необходимо учитывать при анализе и сопоставлении литературных данных.

Определенные на основании проведенных исследований оптимальные параметры роста и легирования ($T_S = 250^\circ\text{C}$, $J_{Se}/J_{Zn} \sim 1$ и т.д.) были использованы при работе с компактной версией источника актического азота. При этом была достигнута $|N_A - N_D| = 8 \cdot 10^{17} \text{ см}^{-3}$ при эффективности легирования 80%. Это подтверждается и спектром ФЛ данного образца (рис. 8), в котором наблюдается сравнительно высокая для подобного уровня легирования интенсивность краевого излучения, а в длинноволновой части спектра доминирует излучательная рекомбинация через мелкий акцептор.

4. Заключение

В данной работе впервые сообщается об использовании для легирования ZnSe при МПЭ оригинального источника активного азота с разрядом низкого давления на постоянном токе в скрещенных электрическом и магнитном полях. Широкий диапазон рабочих давлений устойчивого разряда обеспечивает низкие значения расхода азота ($< 10^{-3}$ л · Тор/с) и давления в камере роста (10^{-7} – 10^{-6} Тор), что вместе с предельно низкой мощностью постоянного тока, вводимой в разряд (< 0.5 Вт), и достигнутым уровнем $|N_A - N_D| = 8 \cdot 10^{17}$ см $^{-3}$ свидетельствует о чрезвычайно высокой эффективности данного источника.

Исследования влияния параметров роста на уровень легирования ZnSe:N показали, что оптимальными для получения максимального значения $|N_A - N_D|$ при высокой эффективности легирования являются $T_S = 250^\circ\text{C}$ и $J_{\text{Se}}/J_{\text{Zn}} \sim 1$. Использование низкотемпературной спектроскопии ФЛ позволило исследовать природу и условия образования примесных уровней в слоях ZnSe:N и подтвердить значительную роль глубокого донорного комплекса, связанного с V_{Se} , в процессе компенсации азотного акцептора. Обнаружено, что незначительная разориентация (2° к (110)) подложки GaAs(100) приводит к снижению степени компенсации и увеличению $|N_A - N_D|$.

Предварительные эксперименты по азотному легированию тройных ($\text{Zn}_y\text{Se}_{1-y}$, $y = 0.06$ – 0.12) и четвертых ($\text{Zn}_{1-x}\text{Mg}_x\text{S}_y\text{Se}_{1-y}$, $x = 0.08$ – 0.10 , $y = 0.13$ – 0.16) твердых растворов показали на данный момент значения $|N_A - N_D| = 2 \cdot 10^{17}$ см $^{-3}$ и $1 \cdot 10^{17}$ см $^{-3}$ соответственно при достаточно высокой эффективности легирования. Это позволяет надеяться на достижение более высоких уровней азотного легирования этих соединений с помощью данного источника.

В заключение авторы выражают свою благодарность А.Меркулову и Б.Беру за проведение ВИМС измерений. Авторы также признательны фирме Samsung Electronics Ltd. и Международному научному фонду (грант № J8L100) за финансовую поддержку этих исследований.

Список литературы

- [1] R.M. Park, M.B. Troffer, C.M. Rouleau, J.M. DePuydt, M.A. Haase. *Appl. Phys. Lett.*, **57**, 2127 (1990).
- [2] K. Ohkawa, T. Karasawa, T. Mitsuyu. *Jpn. J. Appl. Phys.*, **30**, L152 (1991).
- [3] T. Matsumoto, T. Inaba, Y. Yoda, K. Egashira, T. Kato, T. Akitsu. *J. Cryst. Growth*, **138**, 403 (1994).
- [4] J. Qiu, J.M. DePuydt, H. Cheng, M.A. Haase. *Appl. Phys. Lett.*, **59**, 2992 (1991).
- [5] T. Ohtsuka, K. Horie. *Jpn. J. Appl. Phys.*, **32**, L233 (1993).
- [6] S.O. Ferreira, H. Sitter, W. Faschinger, G. Brunthaler. *J. Cryst. Growth*, **140**, 282 (1994).
- [7] W. Faschinger, S. Ferreira, H. Sitter. *Appl. Phys. Lett.*, **64**, 2682 (1994).
- [8] T. Nakao, T. Uenoyama. *Jpn. J. Appl. Phys.*, **32**, 660 (1993).
- [9] R.P. Vaudo, J.W. Cook, Jr., J.F. Schetzina. *J. Cryst. Growth*, **138**, 430 (1994).
- [10] R.P. Vaudo, J.W. Cook, Jr., J.F. Schetzina. *J.Vac. Sci. Technol. B*, **12**, 1232 (1994).
- [11] I.S. Hauksson, J. Simpson, S.Y. Wang, B.C. Cavenett. *Appl. Phys. Lett.*, **61**, 2208 (1992).
- [12] D.B. Laks, C.G. Van de Walle, G.F. Neumark, P.E. Blochl, S.T. Pantelides. *Phys. Rev. B*, **45**, 10965 (1992).

- [13] G.G. Van de Walle, D.B. Laks, G.F. Neumark, S.T. Pantelides. Phys. Rev. B, **47**, 9425 (1993).
- [14] Z. Zhu, K. Takebayashi, K. Tanaka, T. Ebisutani, J. Kawamata, T. Yao. Appl. Phys. Lett., **64**, 91 (1994).
- [15] Н.А. Кервалишвили, А.В. Жаринов. ЖТФ, **25**, 2194 (1965).
- [16] С.Д. Гришин, Л.В. Лесков, Н.П. Козлов. Плазменные ускорители (М., Машиностроение, 1983).
- [17] P.S. Kop'ev, S.V. Ivanov, A.Yu. Egorov, D.Yu. Uglov. J. Cryst. Growth, **96**, 533 (1989).
- [18] S.V. Ivanov, S.V. Sorokin, H.S. Park, T.I. Kim, P.S. Kop'ev. Workbook EUROMBE-VIII Workshop (Sierra-Nevada, Spain, March 21-24, 1995) p. 192.
- [19] V.M. Kuznetsov, V.N. Jmerik, S.N. Domrachev. Abstracts Int. Symp. Nanostructures: Physics and Technology (St. Petersburg, Russia, June 13-18, 1993) p. 114.
- [20] L.K. Li, W.I. Wang, J.M. Gaines, J. Petruzzello. T. Marshall. J. Vac. Sci. Technol. B, **12**, 1197 (1994).
- [21] А.Р. Строганов, Н.С. Свентицкий. Таблицы спектральных линий нейтральных и ионизованных атомов (М., Атомиздат, 1966).
- [22] Z. Zhu, T. Ebisuani, K. Takebayashi, K. Tanaka, T. Yao. Appl. Phys. Lett., **64**, 1833 (1994).

Редактор В.В. Чалдышев

Doping of molecular beam epitaxial ZnSe with high Effectiveness active nitrogen DC source

V.N.Jmeric, S. V.Ivanov, M.V.Maximov, V.M.Kuznetsov, N.N.Ledentsov,
S.V.Sorokin, S.N.Domrachev, N.M.Shmidt, L.L.Krestnikov, P.S.Kop'ev

A.F.Ioffe Physico-technical Institute, Russian Academy of Sciences,
194021 St.Petersburg, Russia

We report on using an original active nitrogen source with a direct current (DC) discharge for *p*-type doping of MBE ZnSe. The doping level $|N_A - N_D| = 8 \cdot 10^{17} \text{ cm}^{-3}$ at a doping efficiency of 80% has been reached for the first time with a DC source. The ultralow discharge electrical power (0.5 W) and nitrogen flow rate (< 0.05 sccm) indicate an extremely high effectiveness of the source. The optimal conditions of the ZnSe:N MBE growth and doping have been determined. A low temperature PL spectroscopy turned out to be very useful in studying the nature of impurity levels and their formation conditions.